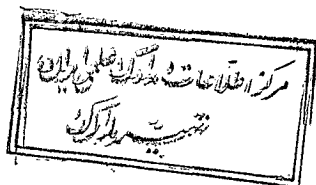


١٩٩٥٩

بِسْمِ اللَّهِ الرَّحْمَنِ الرَّحِيمِ

أَقْرَأْنَاكُمْ مِّنْ كُلِّ كِتَابٍ

"بنام خدا"



کاربرد چندی کردن برداری در فشرده سازی سیگنال صحبت

مهدی برنجکوب

پایان نامه تحصیلی برای اخذ درجه کارشناسی ارشد

در رشتہ

مهندسی مخابرات

دانشگاه صنعتی اصفهان

دانشکده برق و کامپیووتر

۱۳۷۰ د خرد

۱۹۹۲۹

کیفیت و ارزش گزارش حاضر بعده از پایان نامه کارشناسی ارشد مورد تائید است.



دکتر محمد رضا عارف (استاد اهتمای تحقیق)

کیفیت و ارزش گزارش حاضر بعده از پایان نامه کارشناسی ارشد مورد تائید است.



دکتر علی‌محمد دست‌حسینی (استاد مشاور تحقیق)

با محمد توستا یش حضرت حق جل و علی:

او که اول آموزگار است و صاحب علم اولین و آخرین،

و با سپاس از:

پدر (ره) و مادرم، که هر آنچه دارم از پرستو تلاش و زحمت

آنها است،

و همسرو فرزند اشم، که با شکیبایی و تحمل مشکلات فرست

ادامه تحصیل را برایم فراهم آوردند،

وبایاد:

شیدای گرانقدر دانشگاه و به خصوص

شجاع عزیز فرامرز آذری.

تقدیم به:

رهروان تحقیق و پژوهش در مسیر خود کفایی

جمهوری اسلامی ایران و ملهم از پیشوای مستضعفین

جهان در این عصر حضرت روح الله (ره).

"قدرتانی"

بر خود فرض می داشم که ،

از استادگر انقدر م آقای دکتر محمد رضا عارف ، بخاطر اهتمائیها و کمکهای نظری ایشان در طول اجرای تحقیق ، هدایت و بدل توجه ایشان در تمییز رساله حاضر ، و نیز بهره های و افرای که در طول دوران تحصیل از ایشان کسب کرده ام ،

از آقای دکتر علیم حمددوست حسینی ، ریاست محترم داشکده برق و کامپیو تر که به عنوان استاد مشاور از نظر استسود مندانه ایشان خصوصا " در تدوین بهتر این رساله بهره مند بود ، و نیز بخاطر استناد علمی از محضر ایشان ،

از آقای دکتر حسین علوی که عضویت هیئت داوران را بر عهد داشت ، بخاطر حضور در جلسه دفاعی و نیز بخاطر بهره گیری از محضر درس ایشان در طول تحصیل ،

واز سایر اساتید محترم داشکده برق و کامپیو تر که در طول دوره های کارشناسی و کارشناسی ارشد از آنان بهره مند بود ،

سپاسگزاری و قدردانی نمایم .

از درگاه خداوند متعال برای همه اساتید بزرگوارم ، توفيق روز افزون مسئلت می کنم و امید آن دارم که شمره تلاش و امانتگر انبهای ایشان جز در راه خدمت به محرومین و آرمانهای بلند امام راحل (ره) بکار گرفته شود .

همچنین از مسئولین جهاد داشکاهی صنعتی اصفهان ، چه بخاطر فراهم آوردن شرایط عملی انجام تحقیق ، و چه بخاطر در اختیار گذاردن امکانات موردنیاز جهت تدوین رساله نهایت تشکر را بعمل می آورم .

فهرست مطالب

۱	فصل اول: مقدمه
۱	۱-۱: مقدمه
۱	۲-۱: پردازش سیگنال صحبت دیجیتال
۳	۳-۱: انزوونگی زیاد در سیگنال صحبت
۳	۴-۱: میزان داده های قابل دسترس و کیفیت متناظر سیگنال صحبت
۳	۵-۱: دوره های اساسی در فشرده سازی سیگنال صحبت
۵	۶-۱: هدف و ساختار رساله
۶	فصل دوم: مژو ری بر فشرده سازی سیگنال صحبت
۶	۱-۲: مقدمه
۶	۲-۲: روشن تولید صحبت و معرفی پارامتر های آن
۸	۳-۲: مدل ساده تولید صحبت
۹	۴-۲: استخراج پارامتر های مدل سیگنال صحبت
۱۰	۱-۴-۲: تخمین دوره تناوب ارتفاع و واک صحبت
۱۱	۲-۴-۲: تخمین فرکانسها و فرمنت
۱۳	۵-۲: فشرده سازی شکل موج سیگنال صحبت در میدان زمان
۱۳	۱-۵-۲: چندی کردن آنی
۱۵	۳-۵-۲: چندی کردن و نقی
۱۶	۳-۵-۲: کدبندی تفاضلی
۱۷	۴-۵-۲: کدبندی با تضمیم تاخیر یافته
۲۰	۶-۲: فشرده سازی شکل موج سیگنال صحبت در میدان فرکانس
۲۱	۱-۶-۲: شبیل فوریه زمان کوتاه

۲۲	: کد بندی زیر یا ندها (SBC) ۲-۶-۳
۲۳	: کد بندی تبدیلی و فقی (ATC) ۳-۶-۳
۲۴	: کد بندی هارمونیکی ۴-۶-۳
۲۴	: کد بندی پیشگویی خطی (LPC) ۷-۳
۲۵	: تحلیل پیشگویی خطی ۱-۷-۳
۲۸	: چندی کردن پارامترهای پیشگویی ۲-۷-۳
۲۹	: روشهای کاهش بیشتر میزان داده ۳-۷-۳
۳۰	: کد کنندۀای مرکب (کد بندی موتی با سیگنال تحریک اصلاح شده) ۸-۳
۳۱	: کد کنندۀ LPC با تحریک سیگنال مانده (RELP) ۱-۸-۳
۳۱	: کد کنندۀ LPC با تحریک چند پالس (MPE-LP) ۲-۸-۳
۳۲	: کد کنندۀ LPC با تحریک یک کد (CELP) ۳-۸-۳
۳۳	: نتیجه گیری ۹-۳
۳۴	فصل سوم : مبانی و تئوری چندی کردن برداری
۳۴	: مقدمه ۱-۳
۳۵	: اندازه های عوجاج ۲-۳
۳۶	: میانگین مرباعات خطأ (MSE) ۱-۲-۳
۳۶	: میانگین وزن داده شده مرباعات خطأ (WMSE) ۲-۲-۳
۳۷	: معیارهای طیفی ۳-۲-۳
۳۹	: ساختار VQ ۳-۳
۴۱	: چندی کردن بهینه ۴-۳
۴۳	: تئوری میزان - اعوجاج ۵-۳
۴۶	: چندی کردن اسکالر ۶-۳
۴۶	: چندی کننده لوید - ماکس ۱-۶-۳
۴۷	: چندی کننده اسکالر با انتروپی مقید (ECSQ) ۲-۶-۳
۴۹	: الگوریتم طراحی کتابکد LBG ۷-۳
۵۰	: معرفی الگوریتم LBG ۱-۷-۳

۵۱	۲-۷-۳ : تعیین حالت اولیه کتابکد
۵۳	۳-۷-۳ : اهمیت دنباله تر بیت‌کشندہ
۵۳	۴-۷-۳ : پیاده‌سازی الگوریتم LBG با معیار MSE
۵۸	۵-۷-۳ : پیاده‌سازی الگوریتم LBG با معیار IS
۶۱	۶-۷-۳ : نتایج تجربی و مقایسه بین معیارهای MSE و IS
۶۳	۸-۳ : بهبود VQ با روشهای کدبندی انتر و پی
۶۵	۹-۳ : پیاده‌سازی الگوریتمهای کدکاری با جستجوی کامل
۶۸	۱۰-۳ : مقایسه چندی‌کردن اسکالر و VQ در مطابع برداری
۶۸	۱۱-۳ : اختصار بیت
۶۹	۱۲-۱۰-۳ : تبدیل متغیر مذکون
۶۹	۱۳-۱۰-۳ : مزایای VQ نسبت به چندی‌کردن اسکالر
۷۱	۱۱-۳ : نتیجه گیری
۷۳	فصل چهارم : الگوریتمهای عملی VQ و روشهای VQ و ابسته به زمان
۷۳	۱۱-۴ : مقدمه
۷۴	۱۲-۴ : روشهای جستجوی سریع کتابکد بدون عدول از کیفیت
۷۴	۱۳-۴ : روش نظم دهنده ایستابه کتابکد
۷۶	۱۴-۲-۴ : روش نظم دهنده پویا به کتابکد
۷۷	۱۵-۳-۴ : روشهای جستجوی سریع کتابکد با عدول از کیفیت
۷۷	۱۶-۳-۴ : روشهای جستجوی درختی
۸۹	۱۷-۱-۳-۴ : VQ با جستجوی درختی دوتایی یکنواخت با معیار MSE
۹۳	۱۸-۱-۳-۴ : VQ با جستجوی درختی دوتایی غیر یکنواخت با معیار MSE
۹۴	۱۹-۱-۳-۴ : VQ با جستجوی درختی چهارتایی با معیار IS
۹۹	۲۰-۳-۴ : چند طبقه VQ
۱۰۲	۲۱-۳-۴ : کدهای حاصلضرب
۱۰۴	۲۲-۳-۴ : چندی‌کشندہ برداری شکل-سهره (SGVQ)
۱۱۰	۲۳-۳-۴ : چندی‌کشندہ برداری کانتور-سهره (CGVQ)

۱۱۲	۴-۳-۴ : VQ مشبک
۱۱۵	۴-۴ : روش‌های غیر بهینه طراحي کتابکد
۱۱۵	۱-۴-۴ : کتابهای کدت صادفی
۱۱۶	۲-۴-۴ : روش ترکیب شریدکترین همسایه‌ها (PNN)
۱۱۶	۵-۴ : روش‌های VQ و ابسته به زمان
۱۱۸	۱-۵-۴ : چندی کردن قسمتی
۱۱۸	۱-۱-۵-۴ : چندی کردن قسمتی با طول شابت (FLSQ)
۱۱۹	۲-۱-۵-۴ : چندی کردن قسمتی با طول متغیر (VLSQ)
۱۲۱	۲-۵-۴ : چندی کردن برداری و فقی عقب رو شده (BAVQ)
۱۲۳	۱-۲-۵-۴ : چندی کننده برداری پیشگویی کننده (PVQ)
۱۲۴	۲-۲-۵-۴ : چندی کردن برداری با حالت محدود (FSVQ)
۱۳۰	۳-۲-۵-۴ : کدبندی درختی و داربستی برداری
۱۳۲	۳-۵-۴ : چندی کردن برداری و فقی جلو رو شده (FAVQ)
۱۳۳	۶-۴ : نتیجه گیری
۱۳۴	فصل پنجم : الگوریتمهای نشرده ساز سیکنال صحبت
۱۳۴	۱-۵ : مقدمه
۱۳۴	۲-۵ : کد کننده‌های صوتی
۱۳۵	۱-۲-۵ : کد کننده LPC-VQ استاندارد با معیار MSE
۱۳۶	۲-۲-۵ : کد کننده LPC-VQ با روش کد حاصل‌ضریب‌شکل-بهره
۱۴۲	۳-۲-۵ : کد کننده LPC-VFR-VQ با معیار MSE
۱۴۳	۴-۲-۵ : کد کننده LPC-FSVQ
۱۴۹	۳-۵ : کد کننده‌های شکل موج
۱۵۰	۱-۳-۵ : کد کننده VQ با پیشگویی کننده ارتفاع صوت (PPVQ)
۱۵۴	۳-۳-۵ : کد کننده FSVQ
۱۵۸	۳-۳-۵ : کد کننده‌های شکل موج در میدان فرکانس
۱۵۹	۴-۵ : کد کننده‌های مرکب

۱۶۱	۵-۵: نتیجه‌گیری
۱۶۳	فصل ششم: نتیجه‌گیری و پیشنهادات
۱۶۳	۱-۶: نتیجه‌گیری
۱۶۴	۲-۶: پیشنهادات
۱۶۴	۱-۲-۶: کاربرد شبکه‌های عصبی در طراحی و کدگذاری VQ
۱۶۷	۲-۳-۶: کاربرد VQ در کدکنندۀ های مرکب
۱۶۷	۳-۲-۶: تلخیق روشهای کدبندی استرپی با الگوریتمهای VQ
۱۶۸	۴-۲-۶: بررسی سیستم‌های فشرده‌ساز مبتنی بر روشهای تشخیص صحبت
۱۶۸	۴-۳-۶: بررسی و پیاده‌سازی کدبندۀ پیشنهادی PP-FSVQ
۱۶۹	ضمیمه اول: شبیه‌سازی کتابکد VQ
۱۷۳	ضمیمه دوم: الگوریتمهای موردنیاز تحلیل و بازسازی کدبندی صوتی
۱۸۰	مراجع

فهرست جداول

۲۹	جدول ۱-۱: نحوه اختصاص بیتبرای پارامترهای هر قطعه در LPC استاندارد
۴۵	جدول ۱-۲: مشخصات مرتبه توابع $R(D)$ و $D(R)$ چهارتابع چگالی احتمال مهم
۵۸	جدول ۳-۱: هزینه طراحی کتابکد VQ استاندارد با معیار MSE
۶۲	جدول ۳-۲: هزینه طراحی کتابکد VQ استاندارد با معیار IS
۶۶	جدول ۳-۳: هزینه کدگذاری VQ استاندارد با معیار MSE
۶۷	جدول ۳-۴: هزینه کدگذاری VQ استاندارد با معیار IS
۸۲	جدول ۴-۱: هزینه پیش محاسبات روشن نظم دهی پویا به کتابکد برای سه نقطه مرجع
۸۳	جدول ۴-۲: هزینه کدگذاری با روش نظم دهی پویا به کتابکد با استفاده از سه نقطه مرجع
۹۲	جدول ۴-۳: هزینه طراحی کتابکد VQ با جستجوی درختی دوتایی یکنواخت با معیار MSE
۹۳	جدول ۴-۴: هزینه کدگذاری VQ با جستجوی درختی دوتایی یکنواخت با معیار MSE
۹۶	جدول ۴-۵: هزینه الگوریتم طراحی کتابکد VQ با جستجوی درختی دوتایی غیر یکنواخت
۹۷	جدول ۴-۶: هزینه الگوریتم طراحی کتابکد VQ با جستجوی درختی چهارتاپی با معیار IS
۱۰۰	جدول ۴-۷: هزینه الگوریتم کدگذاری VQ با جستجوی درختی چهارتاپی با معیار IS
۱۰۹	جدول ۴-۸: هزینه الگوریتم طراحی کتابکد با روش SGVQ با معیار IS
۱۱۰	جدول ۴-۹: هزینه الگوریتم کدگذاری با روش SGVQ با معیار IS
۱۲۸	جدول ۴-۱۰: هزینه الگوریتم طراحی FSVQ با معیار MSE
۱۳۰	جدول ۴-۱۱: هزینه الگوریتم کدگذاری FSVQ با معیار MSE
۱۳۹	جدول ۵-۱: هزینه کدکننده LPC-VQ استاندارد با معیار MSE
۱۴۲	جدول ۵-۲: هزینه کدکننده LPC-VQ با روش کد حاصل فربشکل-بهره
۱۴۶	جدول ۵-۳: هزینه کدکننده LPC-VFR-VQ با معیار MSE
۱۴۹	جدول ۵-۴: هزینه کدکننده LPC-FSVQ با میزاندادهای 600 bps

جدول ۵-۵: هزینه کدکشندگان PPVQ

۱۵۵

جدول ۵-۶: هزینه کدکشندگان FSVQ

۱۵۷

شکل ۱-۲ : مدل ساده تولید صحت

شکل ۲-۲ : رابطه بین ورودی خروجی چندی کنندگار ای مشخصه قانون μ

شکل ۳-۲ : نمایش عمومی چندی کنندگاری جلو و پنهان : (الف) کدگذار (ب) کدبرگردان

شکل ۴-۲ : نمایش عمومی چندی کنندگاری عقب و پنهان : (الف) کدگذار (ب) کدبرگردان

شکل ۵-۲ : نمایش عمومی چندی کردن تفاضلی : (الف) کدگذار (ب) کدبرگردان

شکل ۶-۲ : کدکنندگاری ADPCM-AQF(B) : (الف) کدگذار (ب) کدبرگردان

شکل ۷-۲ : چندی کردن در سد و لاسیون دلتا با (الف) کدبندی متداول (ب) کدبندی با تصمیم

تا خیر یافته

شکل ۸-۲ : (الف) درخت کدمتشار ظرف با کدکنندگاری یک بیت بر شموه و با عمق جستجوی $W=4$ (ب)

داربست کدمتشار ظرف با کدکنندگاری یک بیت بر شموه و با عمق جستجوی $W=4$ و کشتر $K=2$

شکل ۹-۲ : نمایش عمومی کدبندی زیرباندها

شکل ۱۰-۲ : نمایش عمومی کدبندی شبیه‌یکی و نقی (ATC)

شکل ۱۱-۲ : نمایش عمومی تولید تحریکبار و ش تحلیل بوسیله بازسازی در MPE-LP

شکل ۱-۳ : ساختار کدگذار

شکل ۲-۳ : ساختار کدبرگردان

شکل ۳-۳ : ساختار VQ

شکل ۴-۳ : اعوجاج مالیزه شده چهارتایی چگالی احتمال بدون حافظه بر میز انداذها

شکل ۵-۳ : اختلاف بین انتروپی خروجی $ECSQ$ و تابع $D(R)$ بر حسب فرم r اعوجاج (x,y) در

میز انداذها افزایش

شکل ۶-۳ : اعوجاج $ECSQ$ بر حسب میز انداذها برای یک مشبع بدون حافظه گوسی در مقایسه با

اعوجاج چندی کننده لوید-ماکس و تابع $D(R)$

شکل ۷-۳: اعوجاج ECSQ بر حسب میز انداده های برای یک مشبّع بدون حافظه لایپلاسین در مقایسه

۴۹

با اعوجاج چندی کننده لوید-ماکس و تابع $D(R)$

شکل ۸-۳: اعوجاج MSE در یک کتاب کدبا $L=64$ برای داده های تربیت کننده و داده های

۵۳

مستقل بر حسب تعداد بردارهای تربیت کننده

۵۴

شکل ۹-۳: روند نمای الگوریتم بهینه سازی کتاب کدبا معیار MSE

۵۶

شکل ۱۰-۳: روند نمای الگوریتم پیش محاسبه VQ با معیار MSE

۵۷

شکل ۱۱-۳: روند نمای الگوریتم طراحی کتاب کدبا معیار MSE استاندارد با VQ

۶۰

شکل ۱۲-۳: روند نمای الگوریتم بهینه سازی کتاب کدبا معیار IS

۶۱

شکل ۱۳-۳: روند نمای الگوریتم طراحی کتاب کدبا معیار IS استاندارد با VQ

شکل ۱۴-۳: میز انداده های صرفه جویی شده حاصل از جایگزینی شاهیه متوازنی السطوح با

۶۴

فوق مکعب در چندی کننده یکنواخت

۶۴

شکل ۱۵-۳: مقایسه کیفیت چند سیستم VQ توام با کدبندی اشتراپی در کدبندی شکل موج

۶۵

شکل ۱۶-۳: روند نمای الگوریتم کدگذاری باروش VQ استاندارد با معیار MSE

۶۷

شکل ۱۷-۳: روند نمای الگوریتم کدگذاری باروش VQ استاندارد با معیار IS

۷۰

شکل ۱۸-۳: اعوجاج MSE نرمالیزه شده بر حسب میز انداده های برای چندی کننده

۷۷

شکل ۱-۴: روند نمای کدگذاری بر اساس نظم دهی ایستابه کتاب کدب

۸۰

شکل ۲-۴: روند نمای الگوریتم پیش محاسبات روش نظم دهی پویا به کتاب کدب

۸۴

شکل ۳-۴: روند نمای الگوریتم کدگذاری باروش نظم دهی پویا به کتاب کدب

۸۸

شکل ۴-۴: درخت دو تایی برای یک VQ با جستجوی درختی دو تایی با $L=8$

۸۹

شکل ۵-۴: روند کدگذاری در VQ با جستجوی درختی دو تایی برای $L=8$ با فرض $\underline{x}=\underline{y}_3$

شکل ۶-۴: روند نمای الگوریتم طراحی کتاب کدب با جستجوی درختی دو تایی یکنواخت

۹۱

یکنواخت با معیار MSE

شکل ۷-۴: روند نمای الگوریتم کدگذاری VQ با جستجوی درختی دو تایی یکنواخت با معیار

۹۳

MSE

۹۴

شکل ۸-۴: مقایسه بین سه روش کدگذاری VQ در کدبندی صوتی

شکل ۹-۴: روند نمای الگوریتم طراحی کتاب کد VQ با جستجوی درختی و تایی غیر یکنواخت

۹۵

با معیار MSE

شکل ۱۰-۴: روند نمای الگوریتم طراحی کتاب کد VQ با جستجوی درختی چهارتایی با معیار

۹۸

IS

شکل ۱۱-۴: روند نمای الگوریتم کدگذاری VQ با جستجوی درختی چهارتایی با معیار IS

۱۰۱

شکل ۱۲-۴: نمایش عمومی یک VQ دو طبقه

۱۰۲

شکل ۱۳-۴: مقایسه بین چهار روش کدگذاری VQ در کدبندی صوتی

۱۰۴

شکل ۱۴-۴: نمایش عمومی چندیکنشده برداری شکل-بهره

۱۰۶

شکل ۱۵-۴: روند نمای الگوریتم بهینه سازی کتاب کد شکل در SGVQ با معیار IS

۱۰۷

شکل ۱۶-۴: روند نمای الگوریتم طراحی کتاب کد شکل در SGVQ با معیار IS

۱۰۸

شکل ۱۷-۴: روند نمای الگوریتم بهینه سازی کتاب کد بهره در SGVQ با معیار IS

۱۰۹

شکل ۱۸-۴: روند نمای الگوریتم طراحی کتاب کد بهره در SGVQ با معیار IS

۱۱۱

شکل ۱۹-۴: روند نمای الگوریتم کدگذاری SGVQ با معیار IS

شکل ۲۰-۴: مقایسه کارآیی کتاب کد تصادفی و کتاب کد طراحی شده با روش جستجوی درختی

۱۱۵

دو تایی غیر یکنواخت در کدبندی صوتی

۱۱۷

شکل ۲۱-۴: روند نمای کلی الگوریتم طراحی کتاب کد با روش PNN سریع

۱۲۰

شکل ۲۲-۴: نمایش عمومی کدکنشده صوتی قسمتی LPC

۱۲۰

شکل ۲۳-۴: روش چندیکردن قسمتی در کدبنده صوتی قسمتی LPC

۱۲۱

شکل ۲۴-۴: نمایش عمومی VLSQ مبتنی بر قسمت بندی و چندیکردن مشترک

۱۲۲

شکل ۲۵-۴: نمایش عمومی یک VQ با نیدبک

۱۲۶

شکل ۲۶-۴: روند نمای الگوریتم طراحی FSVQ با معیار MSE

۱۲۹

شکل ۲۷-۴: روند نمای الگوریتم کدگذاری FSVQ با معیار MSE

۱۳۷

شکل ۵-۱: روند نمای الگوریتم فرستنده LPC-VQ استاندارد با معیار MSE

۱۳۸

شکل ۵-۲: روند نمای الگوریتم کپیرنده LPC-VQ استاندارد با معیار MSE

۱۴۰

شکل ۵-۳: روند نمای الگوریتم فرستنده LPC-VQ با روش کد حاصل‌ضرب شکل-بهره

۱۴۱

شکل ۵-۴: روند نمای الگوریتم کپیرنده LPC-VQ با روش کد حاصل‌ضرب شکل-بهره